

## 不搅乱マサ土の三軸排水せん断特性

鳥取大学工学部 正員 清水正喜

はじめに マサ土は不搅乱状態における力学特性の把握が重要である。本研究は既報<sup>1)</sup>で得られた、不搅乱マサ土の三軸せん断特性を別の試料を用いて検討するものである。

**試料** 試料は鳥取県岩美郡岩美町の花崗岩風化マサ土であり、ブロックサンプルとして採取した。現場はマサ土採取場であり、原地表面下約2mの付近で採取した。ブロックサンプルは木枠に收め、すき間を石こうで固めた。採取方法の詳細は文献<sup>1)</sup>に譲る。粒度特性を図1に示す。水中で手でもみほぐした状態のものであるが、粘土分から礫分までを含む粒度配合の良い試料といえる。比重は2.65である。

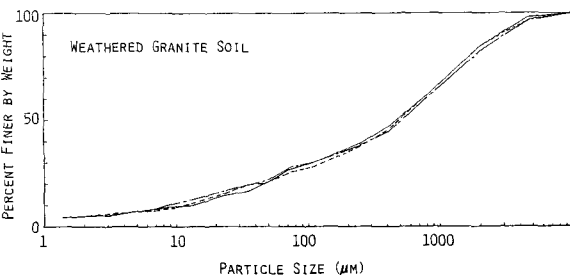


図1 粒度特性

**三軸試験の方法** 試料を木枠ごと水中でサクションを作用させて飽和させ、飽和状態で電気冷凍庫で-20°Cで予備冷凍を行い、さらに専用の冷凍庫中で液体窒素により-80°Cまで冷凍し、特殊コアピットにより円柱（直径50mm、高さ100mm）に整形した。整形後はサンランップで乾燥を防ぎ冷凍庫に保存した。凍結状態で三軸セルにセットした後、セル圧約20kPaを作用させて非排水状態で約24時間放置し融解させた。その後所定の圧力で等方圧密を行い、側圧0r-一定のものでひずみ制御の排水せん断試験を行った。軸方向変位速度は $9.14 \times 10^{-3} \text{ mm/s}$ と小さく、20%のひずみに達するのに約36時間要する。軸変位、軸荷重、側圧、体積変化をひずみゲージ式変換器を用いてデジタルひずみ計により計測した。体積変化は序数の差圧変換器（ライン圧最大30kgf/cm<sup>2</sup>；差圧容量100gf/cm<sup>2</sup>；出力感度0.33mmHg/0.1μストレン）を使用している。この差圧計によれば、最小目盛0.05ml容量10mlのピペットを用いた場合、0.01mlの体積変化を計測できる。ひずみで約 $5 \times 10^{-3}$ %であり、十分な感度を有している。

**三軸試験の結果** せん断ひずみに対する軸差応力と体積ひずみとの関係を図2、3に示す。ここに、せん断ひずみとは、偏差ひずみの軸方向成分 $\epsilon_{xx}$ である。図2より $\epsilon_x$ と $\epsilon_{xx}$ の関係は、ひずみ硬化・軟化型を示し、軟化の程度は拘束圧 $\sigma_3$ が大きくなるほど大きい。体積ひずみは、 $\epsilon_x$ の増加につれて増加、すなわち体積圧縮を示すが、破壊に近づくにつれて膨張する傾向が見られる。

**ダイレクシ** 図4にせん断中の間隙比の変化と平均有効応力との関係を示す。図中、○印

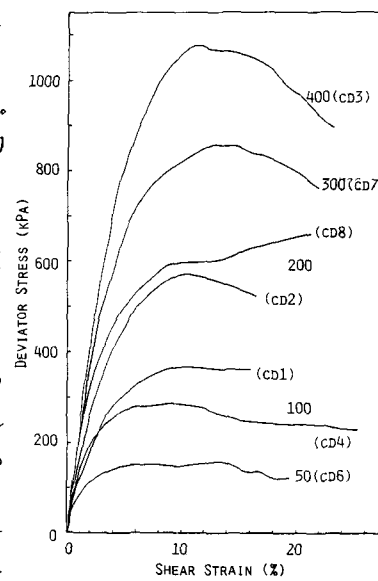


図2 軸差応力～せん断ひずみ

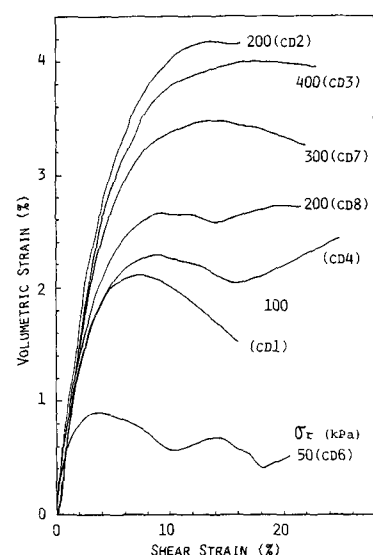


図3 体積ひずみ～せん断ひずみ

は等方圧密終了時の関係を表すが、すべての供試体にはほぼ共通の直線関係（勾配  $C_c = 0.14$ ）が見られる。粘土に見らるる應力圧縮曲線に対応するものである。この直線関係は等方応力成分の変化による隙間比 $\epsilon$ 変化 ( $d\epsilon_c$ ) を表わすと考えらるるので、全体積ひずみ $\epsilon$ 変化から、 $-d\epsilon_c/(1+e)$  を差し引くと、ダイレクシーよによる体積ひずみ $\epsilon$ 変化分を計算できる。図5にこのようにして求めた、タイレタンシーによる体積ひずみ $\epsilon$ とせん断ひずみの関係を示す。低拘束圧 ( $\sigma_r \leq 200$  kPa) の下では正のダイレクシーア、より高い拘束圧下では負から正に変化するダイレクシーアを示している。

$dV_D/d\epsilon < 0$  の部分に注目すると、近似的に  $V_D$  と  $\epsilon$  は直線的な関係が見られる。表紙でこの勾配  $R = -dV_D/d\epsilon$  をタイレタンシー速度と定義して、 $R$  は拘束圧が大きくなると小さくなつていて、表紙の結果と矛盾しない。たゞ表紙で用いたオニマサ（礫層マサ）の場合、せん断初期において、負のダイレクシーア（体積圧縮）は示されなかつ。

せん断弾性定数  $\theta$  とその関係を対数紙上にプロットすると図6が得られる。直線において直線関係が得られる。それを(1)式のように表わすと、 $G' \cdot n$  とべき乗数  $m$  が決定できる。せん断弾性定数は(2)式のように定義できるので、結局  $G' \cdot n$  を用いて  $G$  を決定できる。

$\theta = G' \cdot \epsilon^m \quad (1) \quad G = \frac{1}{3}(\partial \theta / \partial \epsilon)_{\epsilon=0} \quad (2) \quad \therefore G = G' \cdot n / 3 \quad (3)$

$G$  および  $n$  と拘束圧  $\sigma_r$  に対する関係をプロットすると図6が得られる。 $n$  の変化は小さいが、 $m=1$ 、すなはち  $\theta$  と  $\epsilon$  が直線になる場合は  $\sigma_r$  が大きい場合であると予想される。一方  $n$  は  $\sigma_r$  増大につれて増大するが、より大きな拘束圧の下では一定値に落ち着くものと思われる。また、 $G$  の絶対値は、表紙のオニマサに比べてかなり小さい。

まわりに 不擾乱マサエの三軸排水荷重を調べたが、今後も各地の不擾乱試料に対してデータを蓄積する必要がある。定量的には異なるが、定性的には近い荷重が各地のマサエに対して見らるるものと思われる。

謝辞：供試体整形に用いた特殊コアピット製作には東京大学工学部八木則男教授はじめ研究室の方々に大変お世話になりました。深甚の謝意を表したい。また、実験に際しては、東京大学工学部地盤保険技官、大世話をたり謝意を表す。

参考文献：1)柴田・清水・都司：“三軸試験による不擾乱マサエの強度・変形特性”、京大防災研年報、第25号B-2、昭57.4  
2)人木他：“マサエの不擾乱試料の採取について”、土木学会中日四回支部第34回年講、昭57.7

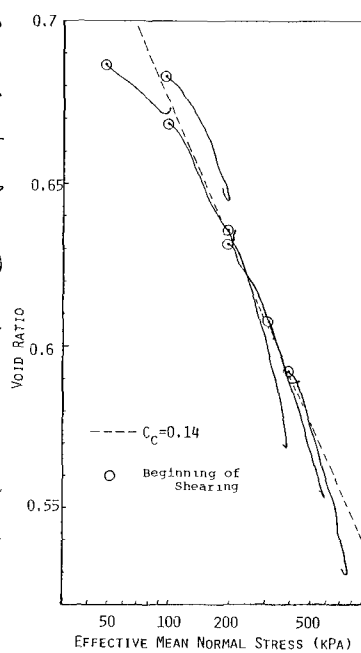


図4 セん断中の隙間比 $\epsilon$ 変化と平均有効大応力の関係

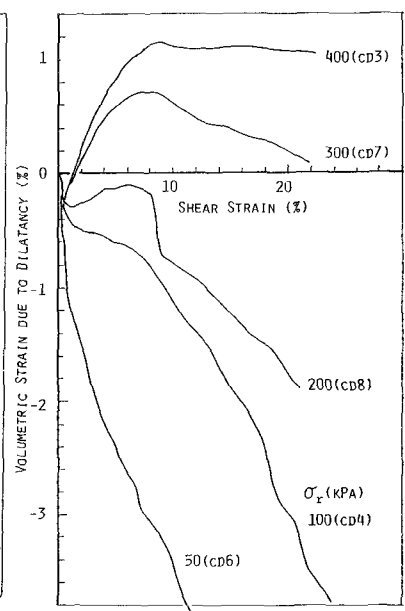


図5 タイレタンシーによる体積ひずみとせん断ひずみの関係

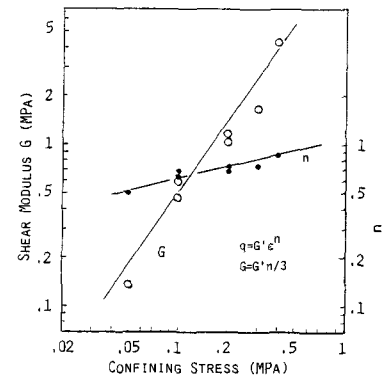


図6. セん断弾性定数と拘束圧の関係